

全国供电技术会议文件

7

# 送电线路的 串联电容补偿

全国供电技术会议秘书处编

水利电力出版社

## 內 容 提 要

送電線路串聯電容縱補償能夠提高線路的輸電能力和電壓水平，能夠減少電壓波動，已經在實踐中得到証實，並已由國內一些單位取得運行上的經驗。安裝串聯電容器的投資費用也是比較小的。

為了介紹線路安裝串聯電容補償的運行經驗，茲將張宣35千伏線路、東北鶴密線、齊富線和江蘇馬橋開關室的運行總結文件整理出版，供國內各單位參考。

\* \* \* \*

## 全國供電技術會議文件

- |               |                  |
|---------------|------------------|
| 1. 全國供電技術會議文件 | 6. 提高供電網的運行水平    |
| 2. 線路升壓       | 7. 送電線路的串聯電容補償   |
| 3. 提高開關遮斷容量   | 8. “兩線-地”制電力網的試驗 |
| 4. 提高變壓器出力    | 9. 農村供電網         |
| 5. 供電網的基礎設計   |                  |

1958

## 全國供電技術會議文件

7

### 送電線路的串聯電容補償

全國供電技術會議秘書處編

\*

**1290D369**

水利電力出版社出版（北京西郊科學路二里溝）

北京市審刊出版業許可證字第105號

水利電力出版社印刷廠排印 新華書店發行

\*

850×1168<sup>1/2</sup>開本 \* 2春印張 \* 55千字

1959年1月北京第1版

1959年1月北京第1次印刷(0001—5,100冊)

統一書號：15143·1055 定價(第9類)0.29元

# 目 录

## I、張宣35千伏送電線安裝串聯電容器總結

北京電業管理局下花園發電廠

一、概述.....	2
二、基本原理.....	2
三、電容器的安裝地點.....	5
四、所需串聯電容器容量的計算.....	5
五、串聯電容器原理結構.....	6
六、串聯電容器的保護.....	7
七、串聯電容器的安裝.....	10
八、運行前的試驗.....	11
九、運行情況.....	11

張宣1號線串聯電容補償運行前的試驗（北京電管局中心試驗所）：

一、引言，二、試驗項目，三、試驗總結。

## II、東北地區輸電線路采用串聯電容縱補償運行總結

遼吉電業管理局

一、東北地區輸電線路采用串聯電容縱補償概況.....	26
二、設計中考慮過的問題.....	29
三、施工安裝及竣工試驗.....	31
四、縱補償串聯電容的運行情況.....	33
五、总的評議及存在着的問題.....	40

## III、馬枕橋開關室串聯電容器使用情況介紹

江蘇省電業管理局

一、串聯電容器在饋電線上的應用.....	41
二、串聯電容器具體使用情況.....	44
三、結論.....	66

# I. 張宣35千伏送電線安裝串聯電容器總結

## 一、概述

1957年我廠35千伏供電系統主要有二路。下花園至張家口供電線全長近60公里，每一回路有負荷點3到4個，其中#303路的運行方式見圖1。

張家口35千伏側電壓經常在30~31千伏間，每當線路檢修或在張家口的兩個煉鋼爐啟動時電壓變動更甚，有時不得不減少負荷。在這種情況下，為了提高張家口地區的電壓質量，提高線路傳輸能力，決定在第三變電站安裝串聯電容器。

## 二、基本原理

在送電線中接入集中容抗後，此容抗將補償線路的感抗從而改善了線路的運行情況，因此一般在提到串聯電容器的補償性能時往往提到補償度（或稱補償系數）。所謂補償度即接入的容抗 $x_c$ 與線路感抗 $x_L$ 之比，用 $K$ 來代表則

$$K = \frac{x_c}{x_L}.$$

線路中接入串聯電容器可改變線路常數，因之改善了線路的運行。串聯電容器還能減少由於負荷電流變化而產生的電壓波動，同時還能取得隨著負荷的變化能夠自動的調整

電壓的特性，由於採用了串聯補償，線路的傳輸能力增加了；由於提高了電壓，相應的線路損失也有所降低。

現在我們來看一看最簡單的放射網路接入串聯電容補償時對

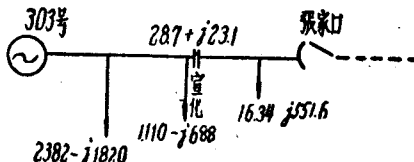


圖 1

网路运行改善的情形。图 2 为串有容抗的线路图。

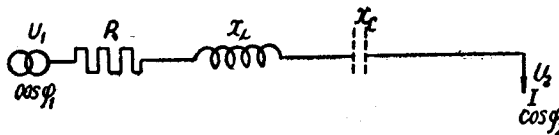


图 2 电阻为  $R$ 、电抗为  $x_L$  的简单网路， $x_C$  为纵补偿容抗

图 3 a 为无补偿时情况，从图中可見线路电压降决定于线路的  $R$  及  $x_L$ 。当接入纵补偿时(图 3b)  $U_1$  与  $U_2$  的差別显著的缩小

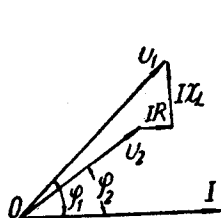


图 3 a 无补偿时简单网路向量图

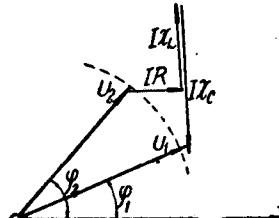


图 3 b 有纵补偿时简单网路向量图

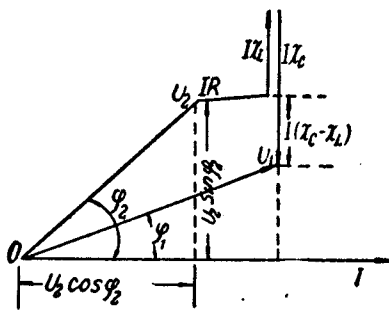


图 4 接有纵补偿网路的向量分析图

了，如选择适当的  $x_C$  就完全有可能使  $U_2$  及  $U_1$  的数值相等，亦即相当于线路上没有电压降，同时还改变了首端的功率因数。

从图 4 中我们能够很容易的证明接有纵补偿时的自动调压性能，为此我们只要找出负荷端电压  $U_2$  与负荷的关系就行了。

从图中可知

$$U_2 \cos\varphi_2 + IR = U_1 \cos\varphi_1; \quad (1)$$

$$U_2 \sin\varphi_2 - I(x_C - x_L) = U_1 \sin\varphi_1; \quad (2)$$

$$U_2 \cos\varphi_2 \times IR = 1,000 PR; \quad (3)$$

$$U_1 \sin \varphi_1 \times I(x_c - x_L) = 1,000 Q(x_c - x_L). \quad (4)$$

将(1)及(2)式平方并相加再以(3)、(4)式代入，最后可解出：

$$U_2 = \sqrt{\frac{S \pm \sqrt{S^2 - 4T}}{2}}, \quad (5)$$

其中：

$$S = U_1^2 - 2,000 [PR - Q(x_c - x_L)];$$

$$T = [R^2 + (x_c - x_L)^2] \left( \frac{1000 \cdot P}{\cos \varphi_1} \right)^2;$$

$U_1$ ——送电端相电压(伏)；

$Q$  及  $P$ ——受电端每相无功(千乏)及有功(千瓦)负荷；

$R$  及  $x_L$ ——全线总电阻(欧)及电抗(欧)；

$x_c$ ——所接入纵补偿容抗(欧)。

由公式(5)中我们可以计算出在线路上接有纵补偿容抗时负荷为任一数值时的负荷端相电压。

当根据延线电压降情况决定了电容器安装位置后就可以决定电容器的容量了。如果电容

器前面的电压为  $U_1$ ，今预计把电容器后面电压提高至  $U_2$  (图 5)。线路负荷端有视在功率  $S_2$ ，有功功率  $P_2$ ，

和无功功率  $Q_2$ 。在送电端

有视在功率  $S_1$ ，有功功率

$P_1$ ，和无功功率  $Q_1 - Q_c$ ，其中  $Q_c$  为准备接入串联电容器的功率。于是可以得出

$$S_1 = \sqrt{3} U_1 I; \quad (1)$$

$$S_2 = \sqrt{3} U_2 I; \quad (2)$$

$$\text{所以 } \frac{U_1}{U_2} = \frac{S_1}{S_2} = \frac{\sqrt{P_1^2 + (Q_1 - Q_c)^2}}{\sqrt{P_2^2 + Q_2^2}}. \quad (3)$$

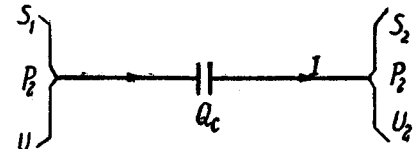


图 5 线路接有电容器时其前后的电压及负荷

由(3)式可求出所需串联电容器容量

$$Q_c = P_2 \left\{ \frac{Q_2}{P_2} - \sqrt{\left(\frac{U_1}{U_2}\right)^2 \left(1 + \left(\frac{Q_2}{P_2}\right)^2\right)} - 1 \right\}. \quad (4)$$

### 三、电容器的安装地点

如果将电容器安装在线路末端，电容器可减少短路冲击次数，因线路末端发生故障的可能性是很小的。当延线有很多负荷点时，电容器可装在全线电压降  $\frac{1}{2}$  或  $\frac{1}{3}$  的地点。

考虑到电容器在运行维护上的方便及线路电压损失情况我们决定串联电容器安装在第三变电站之出线端。

### 四、所需串联电容器容量的计算

对张家口供电有二路。原设计在二路均装，后因电容器的供应不能满足需要，决定先在一回路上安装。根据计算将张家口电压提至35千伏需安装电容器450千乏，每相需补偿  $x_c = 62.5$  欧。后又考虑到补偿的经济性及变压器分头的可调性，将末端电压提到34千伏亦足够。故补偿度由原来的  $\frac{62.5}{23.3} = 2.7$  改为  $\frac{50}{23.3} = 2.15$ ，即每相投入纵补偿容抗50欧。

现在让我们来验算一下当补偿度选为2.15时（每相投入纵补偿容抗为50欧）负荷为100%及50%时负荷端电压的变化。

当负荷为100%时负荷端电压为：

$$U_2 = \frac{\sqrt{S \pm \sqrt{S^2 - 4T}}}{\sqrt{2}},$$

其中：

$$\begin{aligned} S &= U_1^2 - 2,000(PR - Q(x_c - x_L)) \\ &= \left(\frac{35000}{3}\right)^2 - 2,000\left(\frac{1634}{3} \times 28.7 - \frac{551.6}{3}(50 - 23.3)\right) \\ &\approx 37.86 \times 10^7; \end{aligned}$$

$$T = [R^2 + (x_c - x_L)^2] \left( \frac{1000 \cdot P}{\cos \varphi} \right)^2$$

$$= [21.2^2 + (50 - 23.3)^2] \left( \frac{1000 \times 828}{0.84} \right)^2 = 11 \times 10^{14}.$$

將  $S$ 、 $T$  值代入  $U_2$  式中，則得：

$$U_2 = \frac{\sqrt{38 \times 10^7 + \sqrt{(38 \times 10^7)^2 - 4 \times 11 \times 10^{14}}}}{\sqrt{2}}$$

$$= 19,700 \text{ 伏/相.}$$

綫电压  $= \sqrt{3} \times 19,700 = 34,100 \text{ 伏.}$

負荷為 50% 时負荷側电压为：

$$U_2 = \frac{\sqrt{38 \times 10^7 + \sqrt{(38 \times 10^7)^2 - 4 \times 126 \times 10^9}}}{\sqrt{2}}$$

$= 19,800 \text{ 伏/相.}$

綫电压  $= \sqrt{3} \times 19,800 = 34,200 \text{ 伏.}$

可見补偿度選為 2.15 时，負荷側电压还是令人滿意的，此時所需电容器容量为：

$$Q_c = 3I^2 x_c = 3 \times 28.5^2 \times 50 = 125 \text{ 千乏.}$$

### 五、串联电容器原理結構

串联与并联不同之点在于負荷电流通过前者，因此所采用的串联电容器額定电压要根据补偿度及負荷电流来考虑，也就是說所选用电容器的額定电压要大于当最大負荷电流通过电容器时与其容抗所产生的电压降。在选择容量时还要考虑到負荷的发展而有些裕度。

当时我們擁有一批瑞典 CTD-1 屋外單相 1000 伏 20 千乏电容器，对 #303 路最大負荷电流为 28.5 安每相縂补偿 50 欧則每条綫路串 2 台并 2 台即可，如图 6。

考慮到將來負荷的发展，目前实际安裝是每相串 3 并 3，如

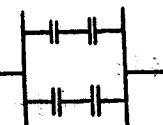


图 6

图 7。

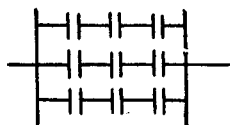


图 7

实际安装容量为：

$$Q_s = 20(3 \times 9) = 540 \text{ 千乏.}$$

## 六、串联电容器的保护

对串联电容器的保护主要是防止过电压方面的保护。串联电容器是个較大的集中电容，它对周率很高的进行波具有很小的阻抗，同时串联电容器站多安装在变电站內故对大气过电压的保护一般可不考虑。

当采用兩台以上的串联电容器时，其中一台损坏后其余將承受較大电压进而引起逐台击穿造成全部损坏。为防止此类事故可用横联差动保护。根据运行經驗 CTD-1 型电容器在运行中很少发生故障，如果在容量不大的电容器站增裝这种保护將使造价增高，运行复杂化，为了降低造价，我們决定对此种故障不加特殊保护。

現在所考慮的只是由于短路或过负荷而引起的过电压的保护。

1. 串联电容器的保护原理如图 8 所示。

2. 动作原理：

线路过负荷时（不論是线路末端发生短路或因其他原因而过负荷时），經過电容器的电流急增使其过电压，此时保护間隙击穿，保护用变流器 TT 通电，使电流繼电器动作。通过中間繼电器，使“消弧旁路开关 B”合閘，从而把电容器短路，解除其运行。为了很好的完成合閘动作，在合閘回路中接有“自动恢复式自保持”結綫裝置，待故障消除后，即线路主开关为合閘状态时，經過一定的时间使“消弧开关”断开（由时间繼电器来完成），电容器从新投入运行。

3. 間隙等保护裝置：我厂采用 BL 并联后再与間隙串联組成一衰减振蕩回路，其主要部件情况列下：

（一）保护間隙 各相电容器定額电压 3 千伏，間隙的工頻放

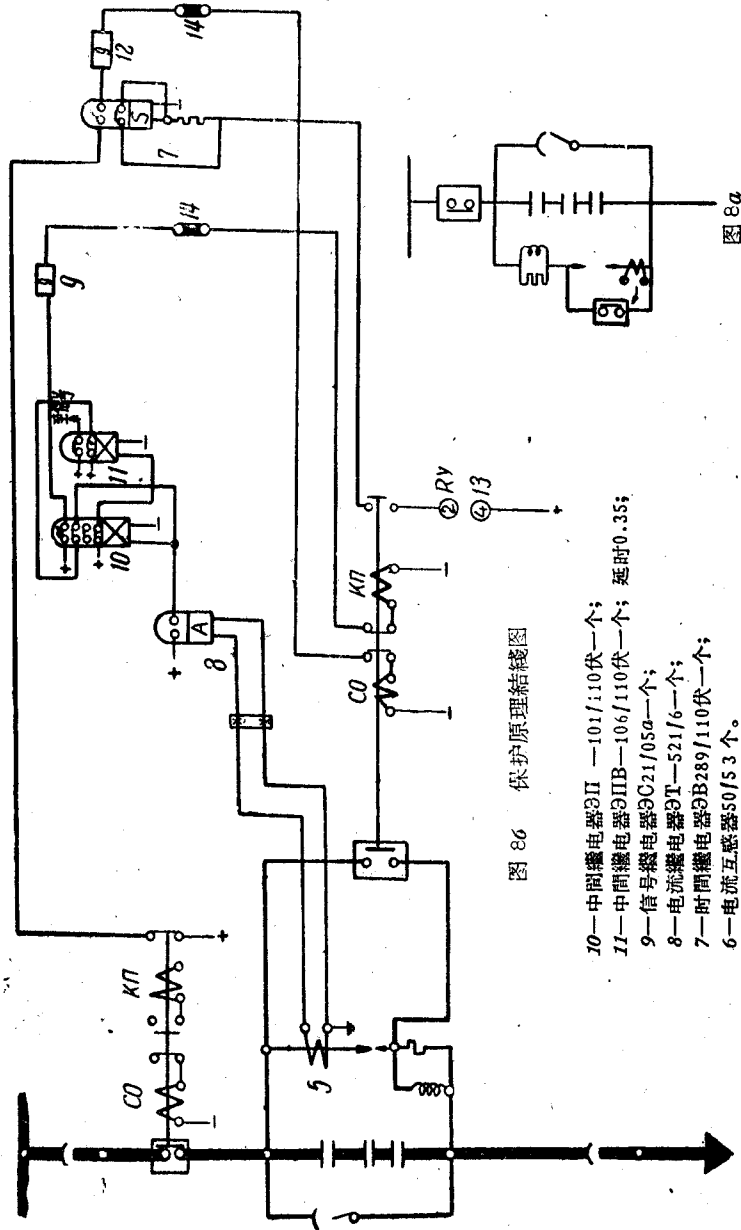


图 86 保护原理结綫图

10—中间继电器3Π—101/110伏一个；  
 11—中间继电器3ΠB—106/110伏一个；延时0.35；  
 9—信号继电器3Ω21/05a一个；  
 8—电流继电器ΩT—321/6一个；  
 7—时间继电器ΩB289/110伏一个；  
 6—电流互感器50/5 3个。

图 8a

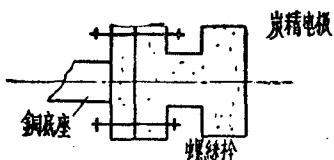


图 9 放电间隙电极

电压为 6 千伏，其后提高为 7.5 千伏。间隙的电极使用炭精制成，电极形状系圆平面。开始设计时，为了增加电极散热的表面积和气体的对流在电极平面上鑄穿若干小孔。其后又取消小孔，虽经短路电流考验电极表面并无严重烧损，电极根部的连接方法开始是将炭精加上成螺纹旋入铜质底座。由于电极放电时互相存在吸引力和振动，螺纹易于松动，脱扣，甚至螺杆折断，最后电极改装成如图 9 断面形式。

现使用的电极直径为 60 公厘，电极间距离只有 4 ~ 5 公厘。

保护间隙最好采用密封式，但需满足电极放电时突然排出大量膨胀气体的要求，同时须考虑调整间隙和检修电极的便利条件。开始使用的间隙是密闭的，于放电时爆破。后改为经过  $\phi 4$  公厘及 100 公厘长的管道，仍不能迅速排气，密闭的玻璃罩在短路试验时又爆炸破碎。

现时使用的间隙外壳是由 AEG 3 千伏避雷器磁外壳改装成的。排气采用 25 × 50 公厘的活门，利用排气压力自动敞开，然后

自动关闭。排气的方向要避免电弧气体导致相间短路或接地，其构造如图 10。

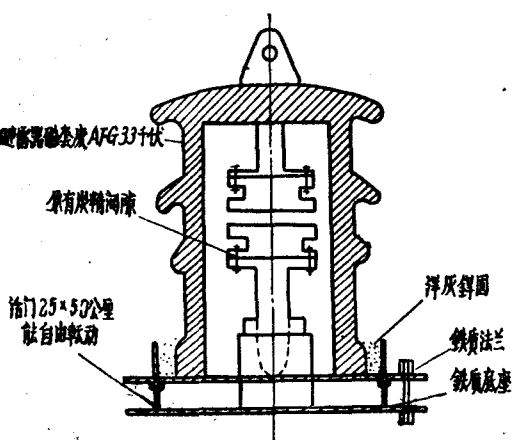


图 10 张宣 1 号线串联电容器放电间隙图

**(二) 阻尼电抗**  
电阻器 当外部短路引起的过电压值超过间隙放电电压值时，间隙击穿。此时间隙通过的电流除短路电流外尚

有电容器的放电电流。为了限制此电流可接入一电阻器与放电回路串接，此时电阻的热容量很大，为了降低电阻的热容量可用RL衰减振荡回路与放电回路串联。

电阻器用0.5公厘电阻絲4~5股繞在膠木板上，并密封在圓筒形玻璃罩內，兩端為銅質蓋，电阻值約4歐，筒形外徑約160公厘，長250公厘。

电抗器以Φ6公厘銅元繞制成直徑200公厘的綫圈30圈，以3对木質夾条固定每圈位置。如用細銅管代替銅元，电抗器重量可大为減輕，安装时为了节省地位电阻器安置在电抗器內。

**(三)变流器** 变流器与保护間隙串接，当間隙放电后方通过电流，而起动电流繼电器使油开关合閘达到間隙滅弧的目的，考慮到起动电流有可能瞬間回复到正常电流。为了保証油开关合閘，变流比尽可能减少。現用变流器为50/5A电流繼电器起动值1.5安，即一次起动电流15安，少于最低負荷电流值。

最初安装时仅兩側各裝一变流器，运行經驗証明三相电流不平衡时有可能仅中相間隙放电。由于中相沒有保护动作裝置，会导致中相間隙長時間通电而损坏，因此中相又增設保护裝置。

## 七、串联电容器的安装

串联电容器及其保护間隙，短接油开关，短接刀閘等整組的結綫很复杂。如采用橫布置，勢將占面积很大，前后須安裝母線，故設計中采用垂直布置。短接刀閘安裝在架構頂部，电容器及其保护間隙，阻尼电抗电阻分相安裝在三个35千伏等級的絕緣台上。絕緣台并排在架構中間橫梁上，絕緣台邊緣互相間距離及对鐵構距离仅保持400公厘，以縮短橫梁長度減少橫梁內应力。

本架構全部使用鐵構，因施工期間已进入冬季，且施工时间短。今后設計时应改用鋼筋混凝土柱或木椿，以节约較多鋼材。

各相电容器、保护間隙、阻尼电抗电阻安裝在同一絕緣台上，相互間最小距离按3千伏等級处理，隔离使用的絕緣子亦为3千伏等級。

## 八、运行前的試驗

見“張宣 1 号線串联电容补偿运行前的試驗”（北京電業管理局中心試驗所）。

## 九、运行情况

根据压降公式  $\Delta U = \frac{PR + Q(x_L - x_c)}{U}$  可看出，线路負荷无功功率不能过小，如在負荷端安裝补偿无功功率的电容器便会显著降低串联电容器的效用。采用过补偿时（即  $x_c > x_L$ ）可使线路电压降为零，甚至达到負的电压降。

此次串联电容器投入运行的目的侧重于取得安全运行的經驗。线路全部負荷仅有一个 1.5 吨及一个 1 吨容量的电弧鋼炉。鋼炉的負荷特点是負荷电流波动較大。电容器投入运行前后 3.3 千伏側母線电压及电压波动范围变化情况見表 1。

表 1

补 償 情 况	3.3千伏側母線的电压, 千伏	3.3千伏側母線电压波动范围
无 补 儗	2.9~3.1	15.5%~8%
全 补 儗	3.2~3.3	6.6%~3.8%
提 高 值	0.2~0.3	8.9%~4.2%

当电弧炉起动操作不当时，起动电流特大，自 10 月 1 日运行以后保护間隙每日皆动作，次数由 1 次至 5 次，到 10 月 28 日止动作次数达 50 次。間隙动作后，短接油开关 0.465 秒后合閘，再經 3 秒后自动恢复原狀，但有时起动电流迅速下降，时间短于油开关合閘时间故开关不合閘，因中間繼电器延时只保持 0.3 秒。根据运行經驗看来間隙在 15 安培以下是能自动消弧的，但这与电容器的电抗大小有关，現每相电容器电抗为 50 欧。間隙自消弧后的端电压在 750 伏以下，噴出的电弧及爆裂声日間在数十公尺远处亦可发觉，間隙自滅弧占全部动作次数約近半数，虽然遮断容量在允許

范围内，但动作次数过多。拟提高间隙放电电压至7000伏，以减少动作次数。

油开关合闸时间过长，还有待今后在停电时间内作调整及改进，使合闸时间少于0.3秒方能够与中间继电器延时自保持配合，并克服上述缺点。对油开关遮断容量要求远低于定额，可以考虑缩短油开关行程而达到这点。

1958年11月14日

## 張宣1號線串联电容补偿运行前的試驗

### 一、引言

由下花园35千伏系統供电张家口，线路长达50多公里；中途多较重负荷的分支线；且末端系钢炉用户，起动时负荷变动很大，引起电压急剧波动；就是平时也嫌电压水平不够；特别是线路上还存在着输送潜力，若增加输送容量时，更增加到终端的电压损失；为此下花园电厂在張宣1号线上，选择宣化变电所出口处，装设串联电容补偿，所用电容器为 CTD-1型（瑞典出品），每只容量20千乏，电压1,000伏，容抗50欧，每相由三列的串联三个电容器组所组成，补偿度为  $2.1 \left( \frac{x_c}{x_L} = \frac{50}{23.75} \right)$ 。

串联电容补偿工作装置完成，在投入运行前，为了了解其补偿效果和装置中保护部分所起的作用，特根据系統情况、用户性质和运行中可能发生的故障，拟出了几项试验项目；曾于今年3月12日～3月25日期间，先后进行过无负荷送电、带负荷331开关（主开关）重合闸与031开关（电容器旁路开关）合跳闸；在不同补偿度下起动钢炉，无补偿与全补偿时单相接地等试验，试验至此，放电间隙的玻璃外壳发生破裂，才停止了进行；俟放电间隙作一些改进，并在中相放电间隙回路上补装了交流器，保护电容器过电压的系統，算是恢复完妥后，复于9月5日补做了三相短路试验。

現將試驗結果，整理編寫于后。

## 二、試驗項目

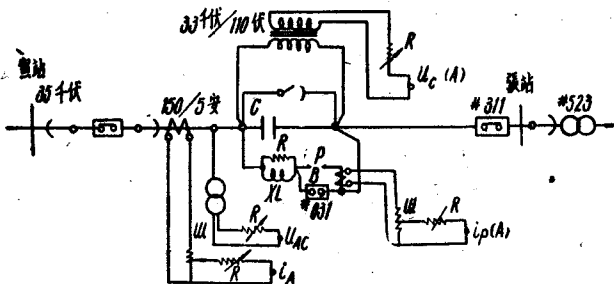
### 1. 无負荷全電容補償送電試驗

#### (一) 試驗目的：

為了尋求線路經串聯全電容補償後，當終端帶上空載變壓器而送電時，是否存在鐵諧振現象及其嚴重性。

#### (二) 試驗結綫與要求：

(1) 試驗結綫單綫示意图見結綫圖1。



結綫圖 1

#### (2) 試驗要求摘要：

先在負荷側帶上空載的2,400千伏安變壓器，這時031旁路開關在拉閘情況（即電容器已處於準備投入運行狀態下），再由331主開關合拉數次對線路送電。

#### (三) 从錄波中所測量的数据：

#### (四) 試驗結果：

(1) 由331主開關對線路和空載變壓器充電合閘的試驗結果來看，鐵諧振電流都在2倍或3倍的2,400千伏安變壓器滿負荷時的高壓側額定電流以上；因空載充電電流大小與合閘電壓瞬間相位有關，其上限可能會達到什麼範圍，還有待於今后其他方面相同性質的試驗資料來補充。

不過所發生的鐵諧振電流，經18個周波就消失；合閘與斷開

表 1

被試項	次序	最大值	对額定值之比	持續時間
線間电压	1	35,750伏	1.02倍	—
$u_{AC}$	2	35,750伏	1.02倍	—
線电流	1	144安	3.43倍	0.375秒
$i_0$	2	144安	3.43倍	0.360秒
电容器端电压	1	8,950伏	2.98倍	0.01秒
$u_c(A)$	2	9,950伏	3.32倍	0.006秒

說明：1. 線路額定电流以# 523变压器高压侧的电流值为准，

$$I_N = \frac{2400}{\sqrt{3} \cdot 33} = 42 \text{ 安。}$$

2. 电容器端电压額定值以3,000伏为准。

瞬間線路并未出現異常情況。

(2)空載充电电流过大，会引起电容器兩端过电压超过 $3U_{CH}$ （即 $3 \times 3,000$ 伏），但亦只有經過半个周波以內的时间，就被間隙放电所短接，录波照片上的 $i$ 直線有跳跃断裂形迹可以証实这一点。同时 031 旁路开关亦曾經动作过，对电容器尚不至有危險。

(3)在今后运行中，遇到对線路帶空載变压器送电时，其操作程序应为：先由 311 开关帶上空載变压器，031 旁路开关在合閘状态下，經過331主开关合閘后再拉开031旁路开关，才算完成空載送电操作；这样会緩和充电电流。运行人員应遵守这样程序，就可以避免間隙放电与 031 旁路开关动作次数的頻繁。

## 2. 在无补偿和全补偿下帶負荷主开关重合閘与旁路开关合跳閘試驗

### (一) 試驗目的：

为了探討線路上帶正常負荷，經全电容串联补偿后，331 主开关自动重合閘所引起線电压線电流和电容器端电压的瞬变过程，特进行本項試驗，以便与无电容串联补偿情况下，331 主开关自动重合閘相比較。

此外，为了了解电容器运行在正常负荷时，瞬间被分路所短接而又立即恢复运行这一过程，线路上的瞬变状况，进行了031旁路开关“合跳闸”试验。

(二) 試驗結綫与要求：

(1) 試驗結綫——參看試驗一結綫圖1。

(2) 試驗要求摘要：

線路終端帶上兩個鋼爐，在正常運行情況下，串聯電容器當不投入運行與投入運行時進行331主開關自動重合閘；繼之031旁路開關合跳閘數次。

(三) 从录波中所测量的数据：

(1) 帶負荷 331 主開關自動重合閘

表 2

补偿情况	重合閘時間 秒	被測項	最大电流, 安(端电压伏)		最大值与負荷值 (或額定值)之比	瞬变時間 秒
			合閘瞬間	瞬变過程		
无补偿	0.91	$i_0$	48.8	—	1.625	0.16
		$i_A$	72	—	2.400	0.20
全补偿	0.89	$i_0$	37.5	97.5	3.250	0.22
		$i_A$	136.5	—	4.550	0.24
		$u_0(A)$	—	1960	0.654	0.26

說明：1. 无补偿与全补偿时負荷电流为30安，  
2. 电容器端电压  $u_0(A)$  以3000伏为額定值，  
3. 全补偿帶負荷331主開關跳閘後，电容器放电时间为0.13秒。

(2) 帶負荷 031 旁路開關合跳閘。

(四) 試驗結果：

(1) 帶負荷 331 主開關自動重合閘，在合閘瞬間电流瞬間值决定于該相电压的初相位；

全电容补偿比无电容补偿，331主開關自動重合閘时电流瞬變過程波形較为复杂，根据架空网絡的特点  $R_s < 2\sqrt{\frac{L}{C}}$ ，回路內电